

Министерство образования и науки Российской Федерации

ФЕДЕРАЛЬНОЕ ГОСУДАРСТВЕННОЕ БЮДЖЕТНОЕ ОБРАЗОВАТЕЛЬНОЕ  
УЧРЕЖДЕНИЕ ВЫСШЕГО ОБРАЗОВАНИЯ «САРАТОВСКИЙ  
НАЦИОНАЛЬНЫЙ ИССЛЕДОВАТЕЛЬСКИЙ ГОСУДАРСТВЕННЫЙ  
УНИВЕРСИТЕТ ИМЕНИ Н.Г. ЧЕРНЫШЕВСКОГО»

Кафедра математической физики и  
вычислительной математики

**Восстановление непрерывных периодических функций, заданных с  
погрешностью**

---

наименование темы бакалаврской работы полужирным шрифтом

**АВТОРЕФЕРАТ БАКАЛАВРСКОЙ РАБОТЫ**

студентки 4 курса 411 группы

направления 01.03.02 – Прикладная математика и информатика  
код и наименование направления

---

механико-математического факультета  
наименование факультета

Кухаревой Анастасии Васильевны

---

фамилия, имя, отчество

Научный руководитель  
профессор кафедры  
мат. физики и выч. мат.,  
д.ф-м.н., профессор

Г.В. Хромова

---

должность, уч. степень, уч. звание

---

подпись, дата

---

инициалы, фамилия

Зав. кафедрой  
д.ф-м.н., профессор

В.А. Юрко

---

должность, уч. степень, уч. звание

---

подпись, дата

---

инициалы, фамилия

## ВВЕДЕНИЕ

Среди математических задач выделяется класс задач, решения которых неустойчивы к малым изменениям исходных данных. Они характеризуются тем, что сколь угодно малые изменения исходных данных могут приводить к произвольно большим изменениям решений. Задачи подобного типа являются плохо поставленными. Они принадлежат к классу некорректно поставленных задач.

Если исходные данные известны приближенно, то упомянутая неустойчивость приводит к практической неединственности решения в рамках заданной точности и к большим трудностям в выяснении смысла получаемого приближенного решения. В силу этих особенностей долгое время считалось, что некорректно поставленные задачи не могут иметь практического значения.

Однако можно указать некорректно поставленные задачи, относящиеся как к классическим разделам математики, так и к различным классам практически важных прикладных задач. Это позволяет судить о широте рассматриваемого класса задач. К числу важных задач относятся задачи создания систем автоматической математической обработки результатов эксперимента, задачи оптимального управления и оптимального проектирования систем.

Одним из существенных этапов обработки является решение задач, неустойчивых к малым изменениям исходных данных. Поэтому не вызывает сомнения необходимость разработки методов решения таких задач. При этом приближенные решения, получаемые по приближенным исходным данным, должны быть устойчивыми к малым изменениям последних.

Исходные данные некорректно поставленных задач, получаемые обычно в результате измерений, содержат случайные погрешности. Поэтому при построении приближенных решений и при оценке их погрешности, в зависимости от характера исходной информации, возможен как детерминированный подход, так и вероятностный.

В данной работе рассматривается задача восстановления периодических функций с помощью детерминированного подхода [1]-[9]. Формулируются требования для корректности задачи восстановления в общей постановке [10]-[12]. Приводятся некоторые оценки погрешности [13]. Приводятся условия со-

гласования параметра  $n$  с погрешностью  $\delta$  при использовании методов частных сумм Фурье и Фейера. Решается известная задача из теории некорректно поставленных задач, так называемая задача восстановления непрерывной функции по ее среднеквадратичному приближению.

Работа состоит из введения, двух разделов и двух приложений.

Во введении описывается решаемая проблема и ее актуальность, содержатся краткие сведения о данной работе и о некоторых результатах, полученных в ходе численных экспериментов.

В первом разделе содержатся необходимые сведения о методах решения поставленной задачи. Вводятся линейные методы суммирования  $S_n$  и  $F_n$ . Приводятся теоремы об интегральном представлении сумм Фурье и Фейера, о нормах  $\|S_n\|_{L_2 \rightarrow C}$  и  $\|F_n\|_{L_2 \rightarrow C}$ , а также некоторые сведения из теории приближения функций [13]-[16].

В втором разделе содержится постановка и решение задачи восстановления периодической функции с помощью сумм Фурье и Фейера, даются алгоритмы моделирования функции, заданной с погрешностью и восстановления непрерывной функции с периодическими краевыми условиями.

В приложениях А и Б приводятся программы [17]-[18] и результаты численного эксперимента по моделированию функции, заданной с погрешностью в метрике пространства  $L_2[-\pi, \pi]$ , и по решению задачи восстановления непрерывной периодической функции.

В автореферате приведен наилучшей из четырех полученных результатов по численному решению задачи моделирования функции, заданной с погрешностью, и так же наилучший из четырех полученных результатов по численному решению задачи восстановления непрерывной периодической функции, заданной с погрешностью.

## ОСНОВНОЕ СОДЕРЖАНИЕ РАБОТЫ

В первом разделе рассматриваются методы, применяемые для решения задачи восстановления непрерывных периодических функций, заданных с погрешностью.

- Метод  $S_n$  частных сумм ряда Фурье.

Для периодической функции  $\bar{f}(x)$  запишем её ряд Фурье:

$$\bar{f}(x) = \sum_{k=1}^{\infty} (a_k \cos kx + b_k \sin kx),$$

где  $a_0 = \frac{1}{\pi} \int_{-\pi}^{\pi} \bar{f}(t) dt$ ;  $a_k = \frac{1}{\pi} \int_{-\pi}^{\pi} \bar{f}(t) \cos kt dt$ ;  $b_k = \frac{1}{\pi} \int_{-\pi}^{\pi} \bar{f}(t) \sin kt dt$ .

Обозначим  $S_n \bar{f}$  — частной суммой ряда Фурье.

Будем считать, что  $\bar{f}(x)$  удовлетворяет условию:  $\|S_n \bar{f} - \bar{f}\|_C \rightarrow 0$  при  $n \rightarrow \infty$ .

**Теорема 1. [13]** (Интегральное представление сумм Фурье). Имеет место равенство:

$$S_n \bar{f} = \int_{-\pi}^{\pi} K_n(x, t) \bar{f}(t) dt,$$

где  $K_n(x, t) = \frac{1}{\pi} \left[ \frac{1}{2} + \sum_{k=1}^n \cos k(t-x) \right]$ .

**Теорема 2. [13]** (Формула Дирихле).

$$S_n \bar{f} = \frac{1}{2\pi} \int_{-\pi}^{\pi} \frac{\sin(n + \frac{1}{2})(t-x)}{\sin \frac{t-x}{2}} \bar{f}(t) dt, \text{ при } K_n(x, t) = \frac{1}{2\pi} \frac{\sin(n + \frac{1}{2})(t-x)}{\sin \frac{t-x}{2}}$$

**Теорема 3. [11]** Имеет место равенство:

$$\|S_n\|_{L_2 \rightarrow C} = \sqrt{\frac{2n+1}{2\pi}}.$$

**Теорема 4. [14]** Пусть  $E_n$  есть наилучшее приближение функции  $\bar{f}(x)$ .

$$E_n = \inf_{T_m \subset H_n} \|T_m(x) - \bar{f}(x)\|_C.$$

Тогда

$$\|S_n \bar{f} - \bar{f}\|_C \leq (3 + \ln n) E_n \text{ при } n \geq 2.$$

**Теорема 5. [13]** Для того чтобы  $\|S_n \bar{f} - \bar{f}\|_{C[-\pi, \pi]} \rightarrow 0$ , при  $n \rightarrow \infty, \delta \rightarrow 0$ , достаточно чтобы  $\ln n \omega(\frac{\pi}{n+1}) \rightarrow 0$  при  $n \rightarrow \infty$

- Метод  $F_n$  частных сумм ряда Фейера.

Оператор Фейера имеет вид:

$$F_n \bar{f} = \frac{1}{n} \sum_{k=1}^{n-1} S_k \bar{f},$$

где  $S_k = \frac{a_0}{2} + \sum_{j=1}^k (a_j \cos jx + b_j \sin jx)$  при этом  $a_0 = \frac{1}{\pi} \int_{-\pi}^{\pi} \bar{f}(t) dt$ ;  $a_j = \frac{1}{\pi} \int_{-\pi}^{\pi} \bar{f}(t) \cos jt dt$ ;  $b_j = \frac{1}{\pi} \int_{-\pi}^{\pi} \bar{f}(t) \sin jt dt$ .

$F_n \bar{f}$  — частная сумма ряда Фейера.

**Теорема 6. [14]** (Интегральное представление сумм Фейера). Справедливо равенство:

$$F_n \bar{f} = \int_{-\pi}^{\pi} K_n(x, t) \bar{f}(t) dt,$$

где  $K_n(x, t) = \frac{1}{\pi} [\frac{1}{2} + \sum_{k=1}^{n-1} (1 - \frac{k}{n}) \cos k(t - x)]$ .

**Теорема 7. [14]** Имеет место равенство:

$$\|F_n\|_{L_2 \rightarrow C} = \sqrt{\frac{2n + \frac{1}{n}}{6\pi}}.$$

Некоторые оценки для отклонения сумм Фейера.

**Теорема 8. [14]** (Бернштейна) Если  $\bar{f}(x) \in C[-\pi, \pi]$  и  $\bar{f}(x) \in Lip_M \alpha$ , где  $0 < \alpha < 1$ , то при всех  $x$

$$|F_n \bar{f}(x) - \bar{f}(x)| < \frac{C_\alpha M}{n^\alpha},$$

где  $C_\alpha$  — постоянная, зависящая только от  $\alpha$ .

**Теорема 9. [14]** Если  $\bar{f}(x)$ , оставаясь  $2\pi$ -периодической, пробегает весь класс  $Lip_1$  и

$$\delta_n(1) = \sup\{\max |F_n \bar{f}(x) - \bar{f}(x)|\},$$

то справедлива асимптотическая формула

$$\delta_n(1) = \frac{2 \ln n}{\pi n} + \rho_n \frac{\ln n}{n},$$

где  $\rho_n \rightarrow 0$ , при  $n \rightarrow \infty$ .

**Во втором разделе** приводится:

- Постановка задачи восстановления функции.

Пусть непрерывная функция  $f(x)$  на отрезке  $[-\pi, \pi]$  удовлетворяет условию  $f(-\pi) = f(\pi)$ , но вместо этой функции известна функция  $f_\delta(x)$  :  $\|f_\delta(x) - f(x)\|_{L_2[-\pi, \pi]} \leq \delta$ . Функция  $f_\delta(x)$  называется  $\delta$ -приближением  $f(x)$  в среднеквадратичной метрике.

Требуется по  $f_\delta$  и  $\delta$  найти равномерные приближения к  $f(x)$ , то есть функции  $\tilde{f}_\delta(x)$ , для которых

$$\|\tilde{f}_\delta(x) - f(x)\|_{C[-\pi, \pi]} \rightarrow 0 \text{ при } \delta \rightarrow 0.$$

- Решение задачи восстановления функции с "периодическими" краевыми условиями.

Справедлива оценка:

$$\|S_n f_\delta - f\|_{C[\pi, \pi]} \leq \|S_n\|_{L_2 \rightarrow C} \delta + \|S_n f - f\|_{C[-\pi, \pi]}. \quad (1)$$

**Теорема 10. [13]** Для того чтобы  $\|S_n f_\delta - f\|_{C[-\pi, \pi]} \rightarrow 0$ , при  $n \rightarrow \infty, \delta \rightarrow 0$ , достаточно чтобы  $n = n(\delta)$  было такое, что :

1.  $n(\delta) \rightarrow \infty$  при  $\delta \rightarrow 0$
2.  $\delta \sqrt{n(\delta)} \rightarrow 0$  при  $\delta \rightarrow 0$ .

Аналогично для  $F_n f_\delta$  справедлива оценка:

$$\|F_n f_\delta - f\|_C \leq \|F_n\|_{L_2 \rightarrow C} \delta + \|F_n f - f\|_C \quad (2)$$

на отрезке  $[-\pi, \pi]$ .

**Теорема 11. [13]** Для того чтобы  $\|F_n f_\delta - f\|_{C[-\pi, \pi]} \rightarrow 0$ , при  $n \rightarrow \infty, \delta \rightarrow 0$ , достаточно чтобы  $n = n(\delta)$  было такое, что :

1.  $n(\delta) \rightarrow \infty$  при  $\delta \rightarrow 0$
2.  $\delta \sqrt{n(\delta)} \rightarrow 0$  при  $\delta \rightarrow 0$ .

Таким образом решением задачи восстановления функции с "периодическими" краевыми условиями является функция  $(S_{n(\delta)} f_\delta)(x)$ , поскольку для нее выполняется сходимость:

$$\|S_{n(\delta)} f_\delta(x) - f(x)\|_{C[-\pi, \pi]} \rightarrow 0 \text{ при } \delta \rightarrow 0,$$

для оператора  $S_n$  и функция  $(F_{n(\delta)} f_\delta)(x)$ , поскольку для нее выполняется сходимость:

$$\|F_{n(\delta)} f_\delta(x) - f(x)\|_{C[-\pi, \pi]} \rightarrow 0 \text{ при } \delta \rightarrow 0,$$

для оператора  $F_n$ .

- Моделирование функции, заданной с погрешностью.

Для проведения численного эксперимента приведем алгоритм моделирования функции  $f_\delta(x)$  по точно заданной  $f(x)$ .

Пусть  $f(x) \in C[-\pi, \pi]$  и  $\delta$  некоторое число из интервала  $(0, 1)$ . Построим функцию  $\tilde{f}_\delta(x)$  такую, что:

$$\|\tilde{f}_\delta(x) - f(x)\|_{L_2[-\pi, \pi]} \leq \delta$$

Разобьем отрезок  $[-\pi, \pi]$  на  $m$  частей и рассмотрим узлы  $x_i, i = 0, \dots, m$ .

Далее возьмем некоторое  $\tilde{\delta}, 0 < \tilde{\delta} < 1$  и определим функцию  $f_{\tilde{\delta}}(x_i)$  при  $i = 0, 1, 4, \dots, m$ .

Пусть

$$f_{\tilde{\delta}}(x_i) = f(x_i) + (-1)^i A_i \tilde{\delta},$$

где  $A_i$  — случайные числа.

При  $i = 2, 3$  будем считать

$$f_{\tilde{\delta}}(x_2) = f(x_2) + N A_2 \tilde{\delta},$$

$$f_{\tilde{\delta}}(x_3) = f(x_3) - N A_2 \tilde{\delta}.$$

Из условия, что  $m$ ,  $\delta$  и  $\tilde{\delta}$  заданы, можно определить возмущение  $N$ :

$$N = \sqrt{\frac{m[(\frac{\delta}{\tilde{\delta}})^2 - 1]}{2} + 1}.$$

- Численный алгоритм восстановления функции.

Отрезок  $[-\pi, \pi]$  разобьем на  $m$  точек. Для вычисления функции  $S_n f_{\tilde{\delta}}$  в узлах  $x_i$  используем сингулярный интеграл сумм Фурье, а именно:

$$S_n f_{\tilde{\delta}} = \frac{1}{2\pi} \int_{-\pi}^{\pi} \frac{\sin \frac{2n+1}{2}(t-x)}{\sin \frac{(t-x)}{2}} f_{\tilde{\delta}}(t) dt.$$

Как сказано выше, заменяем этот интеграл на конечную сумму, считаем этот интеграл по формуле левых прямоугольников:

$$S_n f_{\tilde{\delta}}(x_i) = h \frac{1}{2\pi} \sum_{i=0}^{n-1} \frac{\sin \frac{2n+1}{2}(t_j - x_i)}{\sin \frac{(t_j - x_i)}{2}} f_{\tilde{\delta}}(t_j).$$

Как только  $t_j$  совпадает с  $x_i$  заменяем ядро на  $\lim_{\tau \rightarrow 0} \frac{\sin \frac{2n+1}{2}\tau}{\sin \frac{\tau}{2}}$ .

Аналогично, заменяем сингулярный интеграл сумм Фейера

$$F_n f_{\tilde{\delta}} = \frac{1}{2n\pi} \int_{-\pi}^{\pi} \frac{\sin^2 \frac{n}{2}(t-x)}{\sin^2 \frac{(t-x)}{2}} f_{\tilde{\delta}}(t) dt,$$

на сумму по формуле левых прямоугольников:

$$F_n f_{\tilde{\delta}}(x_i) = h \frac{1}{2n\pi} \sum_{i=0}^{n-1} \frac{\sin^2 \frac{n}{2}(t_j - x_i)}{\sin^2 \frac{(t_j - x_i)}{2}} f_{\tilde{\delta}}(t_j).$$

И как только  $t_j$  совпадает с  $x_i$  заменяем ядро в сумме на  $\lim_{\tau \rightarrow 0} \frac{\sin^2 \frac{n}{2}\tau}{\sin^2 \frac{\tau}{2}}$ .

Из теоремы 10 и 11 известно, что параметр  $n$  должен удовлетворять условиям  $n = n(\delta)$ :

1.  $n(\delta) \rightarrow \infty$ , при  $\delta \rightarrow 0$ ,
2.  $\delta \sqrt{n(\delta)} \rightarrow 0$ , при  $\delta \rightarrow 0$ .



Тогда параметр  $n(\delta)$  будем выбирать следующим образом:  $n(\delta) = \lceil \frac{1}{\delta\gamma} \rceil$ .

Рассмотрим задачу восстановления функции  $f(x) = x^2 - \pi^2$ .

**В приложении А** был проведен численный эксперимент по моделированию функции, заданной с погрешностью. Приведена программа, реализованная на языке C++, для подсчета параметров, необходимых для моделирования функции, заданной с погрешностью. А так же представлены полученные графики.

В результате эксперимента наилучший результат был получен для следующих значений параметров:  $\delta = 0.001$ ,  $\tilde{\delta} = 0.0001$ ,  $m = 25$ . С помощью программы, реализованной на языке C++, были получены значения параметров  $N, h, x_i, A_i, f(x_i)$  и  $f_{\tilde{\delta}}(x_i)$  и построен следующий график:

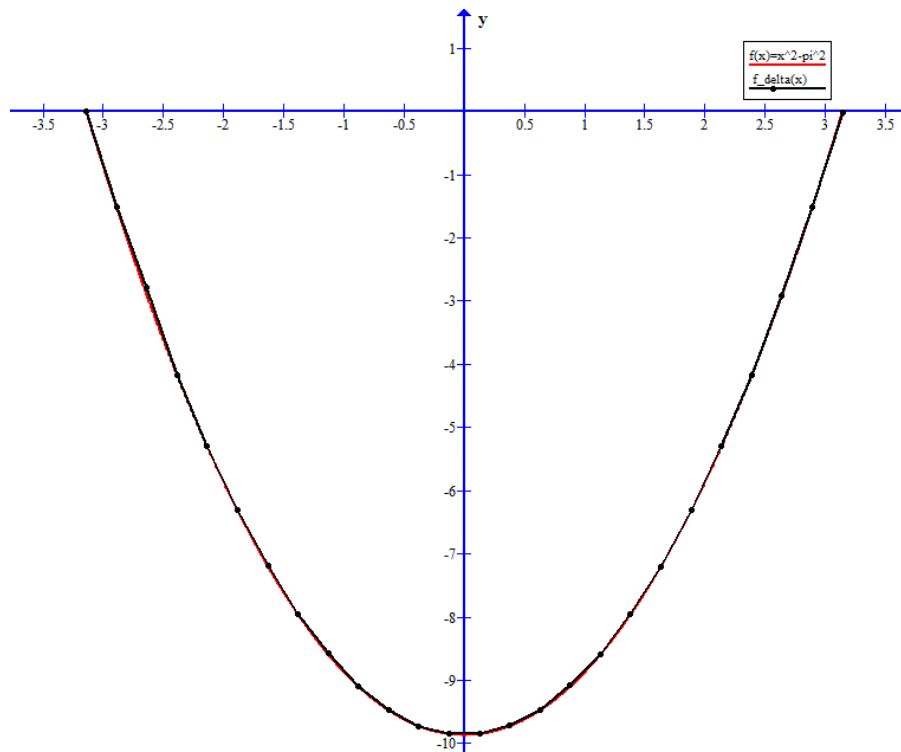


Рисунок 1 — График четвертой модели  $f_{\tilde{\delta}}(x)$

**В приложении Б** был проведен численный эксперимент по восстановлению непрерывной периодической функции, заданной с погрешностью. Приведена программа, реализованная на языке C++, для подсчета параметров, необходимых для построения графиков приближенных функций, полученных с помощью операторов Фурье и Фейра, а так же представлены полученные графики.

В результате эксперимента наилучший результат восстановления периодической функции был получен для следующих значений параметров:  $\delta = 0.001, \tilde{\delta} = 0.0001, m = 25, \gamma = 0.45$ . Тогда  $h = 0.2512, N = 35.3624$  и  $n(\delta) = 22$ . С помощью программы, реализованной на языке C++, были получены значения параметров  $x_i, f_{\tilde{\delta}}(x_i), S_n f_{\tilde{\delta}}(x_i)$  и  $F_n f_{\tilde{\delta}}(x_i)$  и построен следующий график:

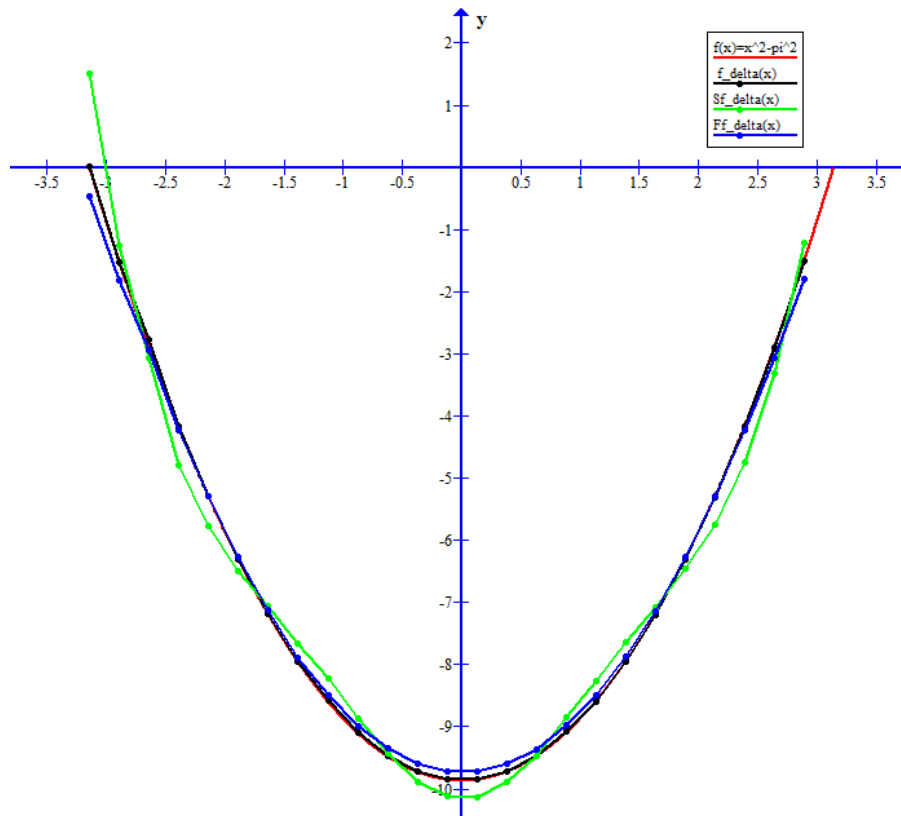


Рисунок 2 — четвертый эксперимент

В теории известно, что для гладких функций оператор  $S_n$  приближает периодическую функцию лучше, чем  $F_n$ . Но на практике работа происходит не с исходной "хорошей" функцией, а с функцией, заданной с погрешностью, которая уже не является периодической и гладкой. То есть в оценках  $\|S_n f - f\|_C \leq \|S_n\|_{L_2 \rightarrow C} \delta + \|S_n f - f\|_C$  и  $\|F_n f - f\|_C \leq \|F_n\|_{L_2 \rightarrow C} \delta + \|F_n f - f\|_C$  большую роль играет слагаемые  $\|S_n\|_{L_2 \rightarrow C} \delta$  и  $\|F_n\|_{L_2 \rightarrow C} \delta$  соответственно. И эти слагаемые играют большую роль в практическом применении данных операторов при восстановлении периодических функций, заданных с погрешностью.

## ЗАКЛЮЧЕНИЕ

В бакалаврской работе рассмотрены задача моделирования функции, заданной с погрешностью и задача восстановления непрерывной периодической функции. Разработан продукт решения данных задач на ЭВМ на высокоуровневом языке программирования C++. Так же были получены нормы операторов Фурье и Фейера  $\|S_n\|_{L_2 \rightarrow C}$ ,  $\|F_n\|_{L_2 \rightarrow C}$  соответственно.

С помощью проведенных экспериментов были обнаружены достоинства и недостатки приведенных методов решения задачи восстановления периодической функции в практическом применении. Были получены условия наилучших результатов в моделировании функции, заданной с погрешностью. С помощью оператора Фейера  $F_n$  было получено лучшее приближение функции, заданной с погрешностью, чем с помощью оператора Фурье  $S_n$ . Хотя, из теории приближений известно, что для гладких периодических функций оператор Фурье  $S_n$  даёт лучшее приближение, чем оператор Фейера  $F_n$ . Но так как задача решается не для исходной гладкой функции, а для смоделированной, которая не является гладкой и периодической, то получили противоположные результаты для данных операторов.

Полученные результаты могут быть применены при решении прикладных задач.